



**Санкт-Петербургский национальный исследовательский
университет информационных технологий, механики и оптики**

Факультет систем управления и робототехники

Лабораторная работа №2

Вариант 2

Выполнила студентка группы Р4150:
Сафонова А. С.

Преподаватель:
Ракшин Егор Александрович

Санкт-Петербург
2025

Исходные данные

Таблица 1 – Исходные данные

m	k	b
0.6	14.2	0.04

Ход работы

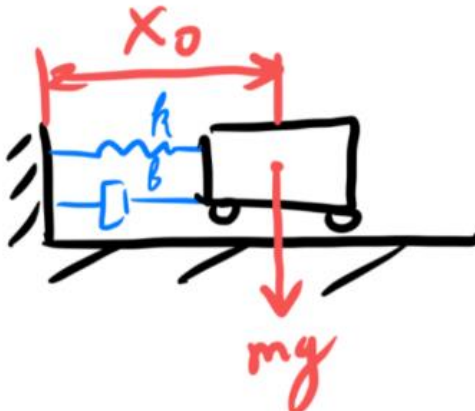


Рисунок 1 – Рассматриваемая система

Выведем Лагранжиан для рассматриваемой системы изображенную на рисунке 1 как разница между кинетической энергией K и потенциальной энергией P :

$$L = K - P = \frac{1}{2}m\dot{x}^2 - (mgx + \frac{1}{2}kx^2)$$

Рассмотрим уравнение Лагранжа:

$$\frac{d}{dt}\left(\frac{\partial L}{\partial \dot{x}}\right) - \frac{\partial L}{\partial x} = Q \quad (1)$$

Где $Q = -b\dot{x}$ – внешняя сила, действующая на систему.

Возьмем частные производные:

$$\frac{\partial L}{\partial \dot{x}} = m\dot{x} \Rightarrow \frac{d}{dt}\left(\frac{\partial L}{\partial \dot{x}}\right) = m\ddot{x}, \quad \frac{\partial L}{\partial x} = -mg - kx \quad (2)$$

Подставим в уравнение 1:

$$m\ddot{x} - (-mg - kx) = -b\dot{x} \quad (3)$$

$$\ddot{x} + \frac{b}{m}\dot{x} + \frac{k}{m}x = -g \quad (4)$$

Подставим известные значения из таблицы 1:

$$\ddot{x} + 0,0667\dot{x} + 23,6667x = -9,81 \quad (5)$$

Решение данного уравнения заключается в решение однородного уравнение и нахождением частного решения неоднородного уравнения. Решим однородное уравнение:

$$\ddot{x} + 0,0667\dot{x} + 23,6667x = 0 \quad (6)$$

Составим характеристическое уравнение и найдём его корни:

$$\lambda^2 + 0,0667\lambda + 23,6667 = 0 \quad (7)$$

$$\lambda_{1,2} = -0,0333 \pm 4,8647i \quad (8)$$

Тогда получив корни характеристического уравнения, составим общее решение однородного уравнения:

$$x_0(t) = C_1 e^{-0,0333t} \cos(4,8647t) + C_2 e^{-0,0333t} \sin(4,8647t) \quad (9)$$

Частное решение неоднородного уравнения

$$x_h = \frac{-9,81}{23,6667} = -0,414 \quad (10)$$

Тогда полное решение:

$$x(t) = C_1 e^{-0,0333t} \cos(4,8647t) + C_2 e^{-0,0333t} \sin(4,8647t) - 0,414 \quad (11)$$

Найдем константы C_1, C_2 из уравнения 9. Пусть начальные условия равны:

$$x(0) = 0,66, \quad \dot{x}(0) = 0 \quad (12)$$

Тогда:

$$\begin{cases} C_1 - 0,414 = 0,66 \\ -0,0333C_1 + 4,8647C_2 = 0 \end{cases} \quad (13)$$

$$C_1 = 1,074, \quad C_2 = 0,0074 \quad (14)$$

Подставим в уравнение 11 и получаем полное аналитическое решение уравнения 2:

$$x(t) = 1,074e^{-0,0333t} \cos(4,8647t) + 0,0074e^{-0,0333t} \sin(4,8647t) - 0,414 \quad (15)$$

Как можем заметить система устойчива.

Используем данное аналитическое решение и сравним с решениями с помощью явного и неявного метода Эйлера и метода Рунге-Кутты, представленные в коде программы.

```

1 import numpy as np
2 import matplotlib.pyplot as plt
3
4 m = 0.6
5 k = 14.2
6 b = 0.04
7 g = 9.81
8 alpha = b / (2*m)
9 omega_d = np.sqrt(k/m - alpha**2)
10 x_p = -g / (k/m)
11 x0 = 0.66
12 v0 = 0.0
13 C1 = x0 - x_p
14 C2 = (v0 + alpha * C1) / omega_d
15
16 def x_analytic(t):
17     return x_p + np.exp(-alpha * t) * (C1 * np.cos(omega_d * t) + C2 * np.sin(omega_d * t))
18
19 def linear_ode_state(x_vec):
20     x, xd = x_vec
21     return np.array([xd, (-b*xd - k*x)/m - g])
22
23 def forward_euler(fun, x0_vec, Tf, h):
24     t = np.arange(0, Tf+h, h)
25     x_hist = np.zeros((len(x0_vec), len(t)))
26     x_hist[:, 0] = x0_vec
27     for k in range(len(t)-1):
28         x_hist[:, k+1] = x_hist[:, k] + h * fun(x_hist[:, k])
29     return x_hist, t
30
31 def backward_euler(fun, x0_vec, Tf, h, tol=1e-8, max_iter=100):
32     t = np.arange(0, Tf+h, h)
33     x_hist = np.zeros((len(x0_vec), len(t)))
34     x_hist[:, 0] = x0_vec
35     for k in range(len(t)-1):
36         x_hist[:, k+1] = x_hist[:, k]
37         for i in range(max_iter):
38             x_next = x_hist[:, k] + h * fun(x_hist[:, k+1])
39             error = np.linalg.norm(x_next - x_hist[:, k+1])
40             x_hist[:, k+1] = x_next
41             if error < tol:
42                 break
43     return x_hist, t
44
45 def runge_kutta4(fun, x0_vec, Tf, h):
46     t = np.arange(0, Tf+h, h)
47     x_hist = np.zeros((len(x0_vec), len(t)))
48     x_hist[:, 0] = x0_vec
49     for k in range(len(t)-1):
50         k1 = fun(x_hist[:, k])
51         k2 = fun(x_hist[:, k] + 0.5*h*k1)
52         k3 = fun(x_hist[:, k] + 0.5*h*k2)
53         k4 = fun(x_hist[:, k] + h*k3)
54         x_hist[:, k+1] = x_hist[:, k] + (h/6)*(k1 + 2*k2 + 2*k3 + k4)
55     return x_hist, t
56

```

```

57 x0_vec = np.array([x0, v0])
58 Tf = 20
59 h = 0.001
60
61 x_fe, t_fe = forward_euler(linear_ode_state, x0_vec, Tf, h)
62 x_be, t_be = backward_euler(linear_ode_state, x0_vec, Tf, h)
63 x_rk4, t_rk4 = runge_kutta4(linear_ode_state, x0_vec, Tf, h)
64 x_an = x_analytic(t_fe)
65
66 plt.figure(figsize=(10,6))
67 plt.plot(t_fe, x_an, 'k', lw=2, label='Analytic')
68 plt.plot(t_fe, x_fe[0], '--', label='Forward Euler')
69 plt.plot(t_be, x_be[0], ':', label='Backward Euler')
70 plt.plot(t_rk4, x_rk4[0], '-.', label='RK4')
71 plt.xlabel('Time, t (s)')
72 plt.ylabel('x(t) (m)')
73 plt.title('График x(t)')
74 plt.legend()
75 plt.grid(True)
76 plt.show()
77

```

Выполнив код, получаем график $x(t)$ на рисунке 1.

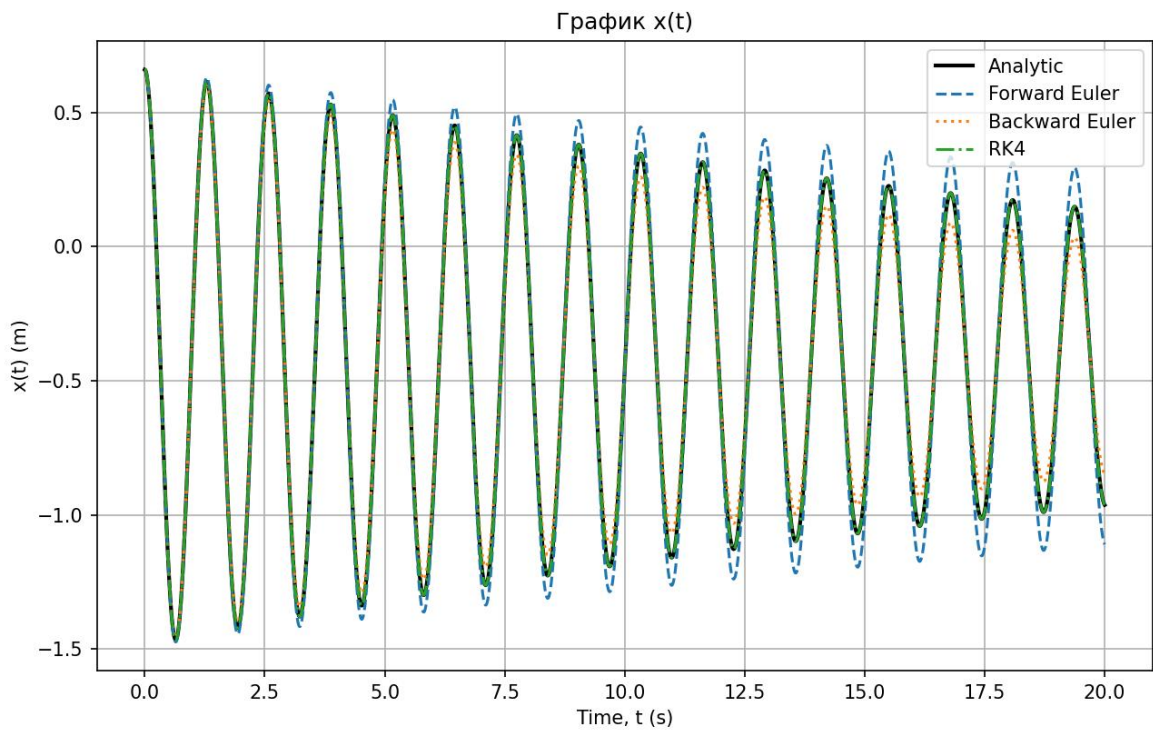


Рисунок 1 – График сравнения аналитического метода и методов:
явный/неявный метод Эйлера, метод Рунге-Кутты

Выводы

В лабораторной работе было исследовано движение тележки на пружине с демпфером и сравнение аналитического решения с методами явного и неявного Эйлера, а также методом Рунге-Кутты 4-го порядка. На рисунке 1 видно, что метод Рунге-Кутты практически совпадает с аналитическим

решением, неявный метод Эйлера показывает небольшое расхождение, а явный метод Эйлера сильно расходится.